

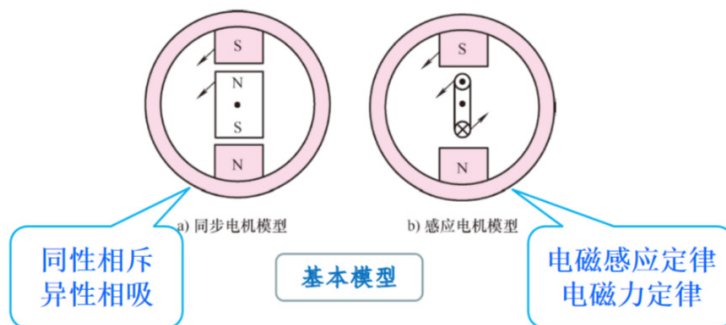
交流电机概述与交流绕组的基本理论 (共8个问题)

1. 交流电机的模型与基本原理

同上：旋转的磁极（本质上说，旋转的磁场，尤其是异步机！）

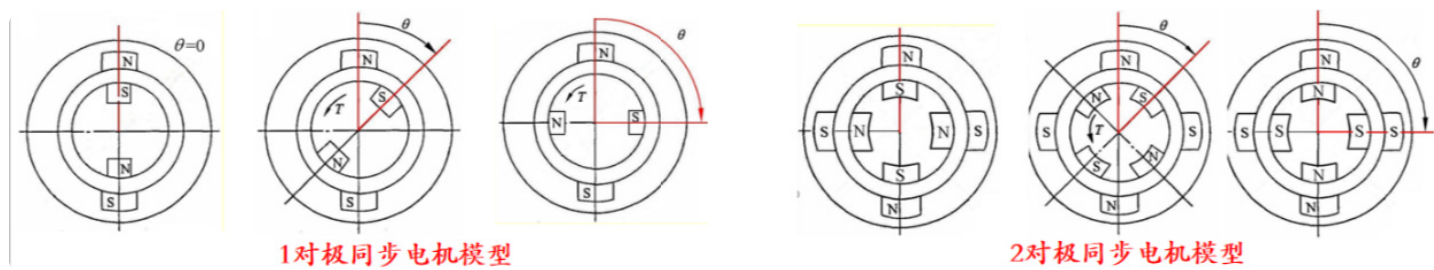
Lec 14

交流绕组产生！



同步电机：[永磁式] 磁极旋转 \Rightarrow 转子磁体同极相斥、异极相吸 \Rightarrow 跟随转子同步旋转
 [磁阻式/反向式] 在不同方向有不同磁阻，趋于使磁力线沿总磁阻最小方向分布

$$\text{电磁力矩 } T_p = k \sin p\theta \quad p: \text{极对数}$$



(磁场旋转)

异步电机：磁极旋转 \Rightarrow 转子绕组切割磁力线产生感应电动势 \Rightarrow 导线产生电流 \Rightarrow 通电导线在磁场中受力

转子中的电动势和电流是靠电磁感应原理产生，所以异步电机也称感应电机。

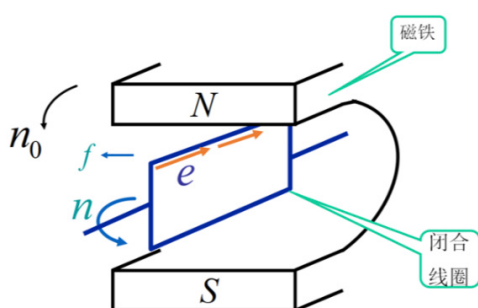
$$F = B I l$$

同向、异步运行 (线圈比磁铁转速慢)

\leftarrow 导线跟着磁铁 (磁场) 转

若两者同速，转子与旋转磁场间没有相对运动，故无转子电动势

\Rightarrow 转子无电流 \Rightarrow 无转矩！



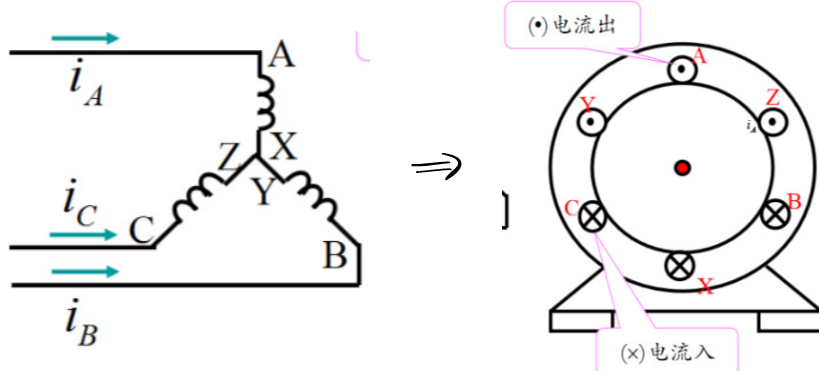
2. 交流绕组的基本工作原理 (旋转磁场的产生)

该节是综述(感性理解),
在之后的第4-6点有详细的分析

重点: 旋转磁场 {
 机械旋转磁场: 原动机拖动磁极转动 [旋转磁极]
 电枢旋转磁场: 多相对称交流绕组通入多相对称交流电

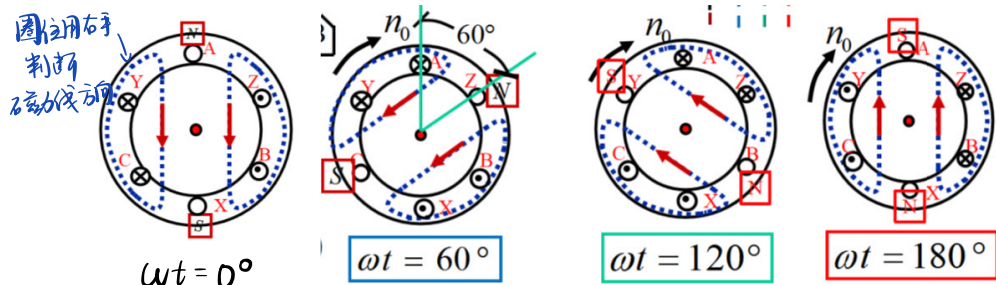
↓
 以旋转磁场替代方旋转磁极 → 用固定的线圈即可产生“旋转磁极”之效果
产生方式: 对于多相绕组通入多相对称交流电 {
 幅度、频率相等
 而两相位关系与绕组在空间的相位关系相同。如三相, 即依次差 120° ; 两相, 即依次差 90° 。

以下用三相对称绕组来说明。



$$\begin{cases} i_A = I_m \sin \omega t \\ i_B = I_m \sin(\omega t - 120^\circ) \\ i_C = I_m \sin(\omega t - 240^\circ) \end{cases}$$

三相对称交流电



将上述分析走一遍即发现: 改变三相电流的相序 ($A-B-C / A-C-B$) 即可改变转向。
 A 超前 B 超前 C A 超前 C 超前 B

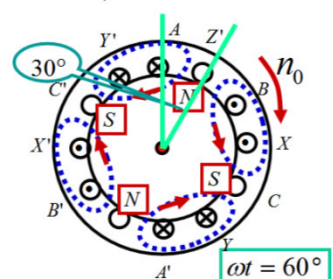
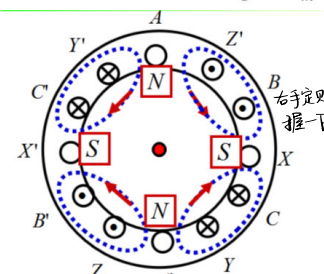
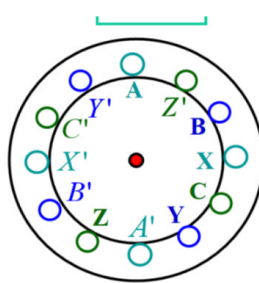
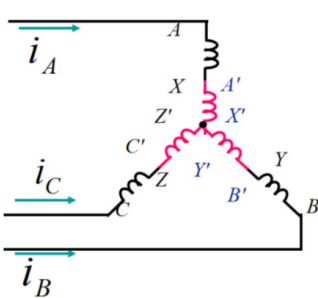
旋转磁场旋转频率与通入交流电的频率相同 [交流电相位变 2π , 旋转磁场也转过一圈] 因此旋转磁场转速 $n_0 = 60f$

此时合成磁场仅有一对磁极, 即极对数为 1 (极数为 2)

同步转速

增加极对数: 每相绕组分成几段 (注意相序和相数)

$$\begin{cases} i_A = I_m \sin \omega t \\ i_B = I_m \sin(\omega t - 120^\circ) \\ i_C = I_m \sin(\omega t - 240^\circ) \end{cases}$$



$P=2 \text{ (两对极)} \quad \text{同步转速} \quad 60f/P = 60 \times 50/2 = 1500 \text{ rpm}$

[交流电相角变化 2π , 旋转磁场转过半圆]

同步转速 $n_0 = 60f/P$

3. 交流绕组的基本概念

按相数：单相与多相
 层数：单层与多层
 绕法：叠绕组与波绕组



分布式绕组

Lec 14

1) 电角度 $P \times \text{机械角度}$ (P : 极对数)

可理解为相量的转角

例如：2对极电机 转子转过 360° , 对应电角度为 720° [相量转过两圈]

若转子每分钟转速为n
叫电动势频率为

$$f = \frac{Pn}{60}$$

电角度改变 360° (反相两次), 转子转过 180°

($n_e = n_m \times P$)

2) 极距 相邻两个磁极_{极轴线}间沿定子内圆周的距离称为极距 以π表示

以电角度描述，无论几对极，皆为 180°

$$\tau = \frac{\Omega}{2P}$$

$$\tau = \frac{\pi D}{2P} \rightarrow \text{总长} \rightarrow \text{极数} = 2 \times \text{极对数}$$

即：可有不同单位。

3) 节距 同一线圈两个有效边之间的距离

$y_1 = \tau$ 整距

$y_1 > \tau$ 长距

$y_1 < \tau$ 短距

长距与短距有助于削弱谐波电动势

4) 槽距角 相邻两个槽之间的电角度。

$$\alpha = \frac{P \times 360^\circ}{Q}$$

机械角度的一圈

Q = 定子槽数

5) 每极每相槽数

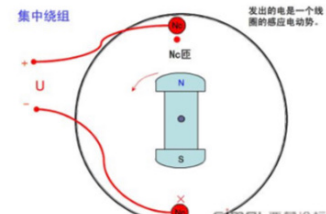
$$q = \frac{Q}{2Pm}$$

每相

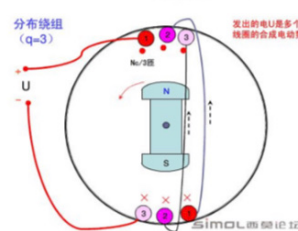
Q = 定子槽数

m ：相数

$q > 1$ ：分布绕组



集中绕组的电动势



合成电动势小于E
分布绕组的电动势

4. 单相集中绕组的磁场

Lec 18

假定：(1) 绕组中的电流随时间按正弦规律变化

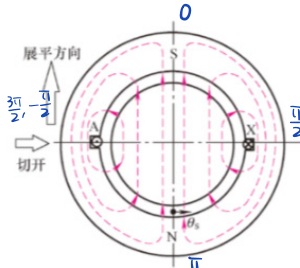
(2) 槽内电流集中在槽中心处

集中在气隙里

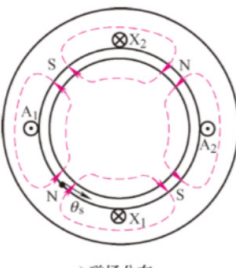
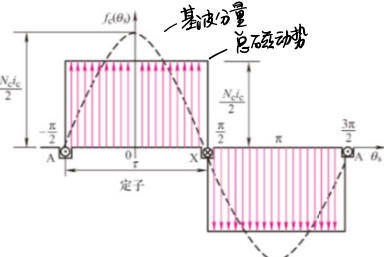
(3) 定、转子间气隙均匀，忽略齿槽的影响

(4) 定、转子铁心的磁导率为无穷大，即铁心中磁阻降可忽略，且磁路不饱和

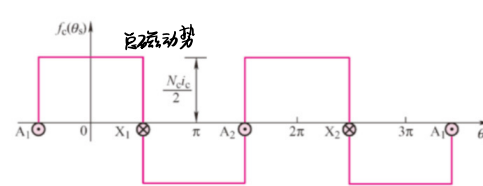
每极每相的线圈匝数为 N_c ，通过电流 $i_c = \sqrt{2} I_c \cos \omega t$ ，假定磁动势正向：定子 \rightarrow 转子为正，设 A 相轴线处为 $\theta_s=0$



$$P=1$$



a) 磁场分布



b) 磁动势沿气隙分布图

$$P=2$$

归纳得到：单相集中绕组产生的磁动势在空间分布波形是矩形波，不转动，

多对极情况类似 表达式相同（因为用电角度表示）

宽度等于线圈宽度，幅值随时间按正弦规律变化，称为 脉振磁动势。
(大小和正负都随时间变化)

$$f_c = \frac{\frac{N_c i_c}{2}}{2} = \frac{\sqrt{2}}{2} N_c I_c \cos \omega t, -\frac{\pi}{2} \leq \theta_s \leq \frac{\pi}{2}, f_c = -\frac{\frac{N_c i_c}{2}}{2} = -\frac{\sqrt{2}}{2} N_c I_c \cos \omega t, \frac{\pi}{2} \leq \theta_s \leq \frac{3\pi}{2}$$

→ 只出现两次

由 Fourier 分解得： $f_c(\theta_s, t) = f_{c1}(\theta_s, t) + f_{c3}(\theta_s, t) + f_{c5}(\theta_s, t) + \dots$

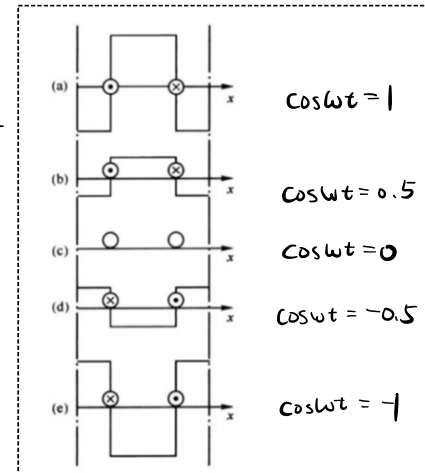
$$\begin{aligned} [\text{以} \theta_s \text{ 为角度展开}] &= \frac{F_{c1} \cos \theta_s \cos \omega t - F_{c3} \cos 3\theta_s \cos \omega t + F_{c5} \cos 5\theta_s \cos \omega t - \dots}{\text{基波磁动势}} \\ &\quad \text{形式要清楚!} \end{aligned}$$

$$\text{基波磁动势振幅 } F_{c1} = \frac{4}{\pi} \frac{\sqrt{2} N_c I_c}{2} = 0.9 N_c I_c$$

$$2\text{次谐波磁动势振幅 } F_{c2} = \frac{1}{2} F_{c1}$$

单相线圈，切成两截分布，
↑ 两个下磁动势差 2π 电角度 西相线圈，彼此合成的磁动势
↑ 在空间上差 $\frac{\pi}{2}$ 电角度

[注意区分：此处 $P=2$ 有元 和 西相相对子绕组中相开]]



5. 单相分布式绕组的磁场

Lec 18

构成线圈组的9个线圈的磁动势大小完全相同，只是在空间上错开一个槽距角 α

将各线圈矩形波磁动势逐点相加，可得线圈组的磁动势，是阶梯形波。

整距线圈组基波合成磁动势

$$f_{q_1}(\theta_s, t) = f_{c_{11}}(\theta_s, t) + f_{c_{12}}(\theta_s, t) + \dots + f_{c_{19}}(\theta_s, t) = (9f_{c_{11}}) k_{b_1}$$

可用相量相加

$$= 9 F_{c_1} k_{b_1} \cos \theta_s \cos \omega t = F_{q_1} \cos \theta_s \cos \omega t$$

式中 $F_{q_1} = 9 F_{c_1} k_{b_1} = \frac{4}{\pi} \frac{\sqrt{2} q N_c I_c}{2} k_{b_1} = 0.9 q N_c I_c k_{b_1}$

$$k_{b_1} = \frac{\sin \frac{q \alpha}{2}}{q \sin \frac{\alpha}{2}}$$

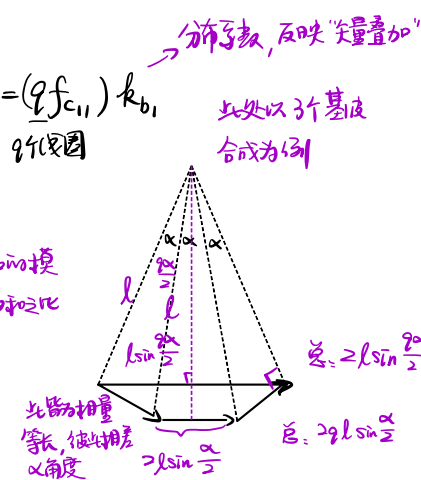
即：矢量和的模
与矢量模的和之比

每极谐波合成磁动势

$$f_{q_{1v}} = F_{q_{1v}} \cos \theta_s \cos \omega t, \quad F_{q_{1v}} = 9 F_{c_{1v}} k_{b_{1v}} = \frac{q}{v} \times 0.9 N_c I_c k_{b_{1v}}$$

$$k_{b_{1v}} = \frac{\sin \frac{q v \alpha}{2}}{q \sin \frac{\alpha}{2}}$$

谐波合成磁动势分布系数



其中出现 v 的原因： θ_s 每相差 α (一个槽距角)，反映在 v 次谐波的相量合成时，相量就会相差 $v \alpha$ 角度，结合上图即可理解。

整距线圈组总磁动势

$$f_q(\theta_s, t) = (F_{q_1} \cos \theta_s - F_{q_3} \cos 3\theta_s + F_{q_5} \cos 5\theta_s - \dots) \cos \omega t$$

试将第4点中 θ_s 换成 $\theta_s + \alpha$ 感受一下。

用每相绕组匝数 $N = p q N_c$ 表示 $F_{q_1}, F_{q_{1v}}$

若有 P 对极 每相每相皆有 $q N_c$ 匝线圈
一对极拥有一个线圈组 (集中时为 N_c , 分布时一个线圈组有 $2q$ 个线圈)

重要 $F_{q_1} = F_{q_1} = 0.9 q N_c I_c k_{b_1} = 0.9 \frac{N}{p} I_c k_{b_1}$

$$F_{q_{1v}} = F_{q_{1v}} = \frac{1}{v} 0.9 q N_c I_c k_{b_{1v}} = \frac{1}{v} 0.9 \frac{N}{p} I_c k_{b_{1v}}$$

单相分布式绕组磁动势特点：

① 大小和正负

1. 总体特征：是脉振磁动势 (幅度随时间改变，频率与电流频率相同)，沿气隙圆周以阶梯形分布，
↑ 同上 (可利用 Ampère 双路定理，从中间经两边看) 书图3-16

2. 分解后特征：基波和各次谐波磁动势均为脉振磁动势 [时间函数]，空间上沿气隙圆周按正弦规律分布 [空间函数]

且波幅均位于相绕组的轴线上。

上面讨论的都是整距绕组。对于短距等非整距绕组， F_{q_1} 或 $F_{q_{1v}}$ 项中还会出现一个乘子 k_{y1} 或 k_{y1v} (称为节距因数)

将其与磁动势分布系数统一，有基波/2次谐波绕组因数 k_w 或 $k_{wv} = k_{b_1} k_{y1}$ 或 $k_{b_{1v}} k_{y1v}$

$w = \text{winding}$

$$k_{y1} = \sin(\frac{2 \pi l}{T} 90^\circ) \quad l \text{ 为节距, } T \text{ 为极距}$$

具体推导可参考电机学教材

→ 下面用到

例：对于一般绕组，有

$$F_{q_1} = F_{q_1} = 0.9 q N_c I_c k_{w1} = 0.9 \frac{N}{p} I_c k_{w1}$$

$$F_{q_{1v}} = F_{q_{1v}} = \frac{1}{v} 0.9 q N_c I_c k_{wv} = \frac{1}{v} 0.9 \frac{N}{p} I_c k_{wv}$$

6、三相繞組合成磁場

Lec 18

从基波磁动势开始分析。通入三相对称交流电：

$$\left\{ \begin{array}{l} \dot{v}_A = I_m \cos \omega t \\ \dot{v}_B = I_m \cos(\omega t - \frac{2\pi}{3}) \\ \dot{v}_C = I_m \cos(\omega t - \frac{4\pi}{3}) \end{array} \right. \Rightarrow \begin{array}{l} \text{三相交流中} \\ \text{no 基波运动} \end{array}$$

利用积化和差公式

$$f_{A1}(\theta_s, t) = \frac{1}{2} F_{\phi 1} [\cos(\theta_s - \omega t) + \cos(\theta_s + \omega t)]$$

$$f_{\text{B1}}(\theta_s, t) = \frac{1}{2} F_{\phi l} [\cos(\theta_s - \omega t) + \cos(\theta_s + \omega t - 240^\circ)]$$

$$f_{\text{Cl}}(\theta_s, t) = \frac{1}{2} F_{\phi 1} [\cos(\theta_s - \omega t) + \cos(\theta_s + \omega t - 120^\circ)]$$

$$t=0 \text{ 时} \quad f_1(\theta_s, t) = F_1 \cos(-\theta_s) \quad \nearrow \text{相位上带后} \\ \omega t_1$$

$$t=t_1 \text{ 时 } f_1(\theta_s, t) = F_1 \cos(\omega t_1 - \theta_s) = F_1 \cos(\theta_s - \omega t_1)$$

ωt 为 $0^\circ, 120^\circ, 240^\circ$ 时，磁动势幅值位于 A、B、C 相轴线上。结合电流关系，知某相电流最大时，合成磁动势正幅值恰与该相绕组轴线重合。因此磁动势是以电流超前的相绕组轴线转向电流滞后 120° 的相邻组轴。改变电流相序即可改变转向！

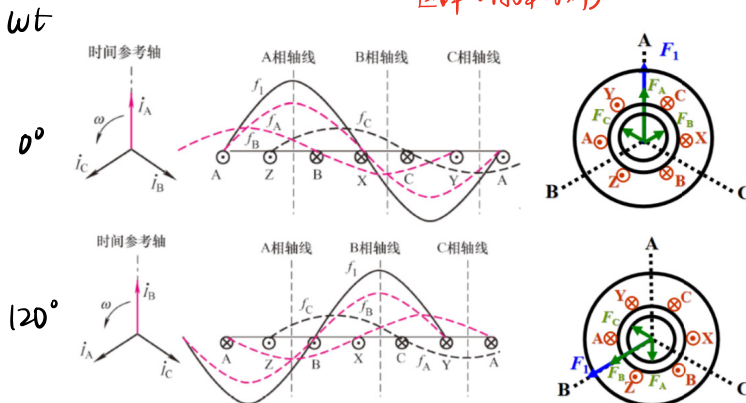
幅点位置: 令 $\cos(\theta_s - \omega t) = 1$

$$\Rightarrow \theta_s = \omega t \quad \Rightarrow \frac{d\theta_s}{dt} = \omega \quad \Rightarrow n_s = \frac{\omega}{2\pi P} = \frac{f}{P}(r(s)) = \frac{60f}{P} (\text{rpm})$$

↓ ↑ 等于 3ω ↑ $2\pi P n_s = \theta_s$
 油桶移动速度 可理解成 即同步转速

亦可用图解法分析。只需：①标出某时刻电流进出方向，②用右手定则判别出磁感势指向，再结合大小画出相量；③矢量合成。

(常取 $\omega t = 0^\circ, 120^\circ, 240^\circ$
这样的特殊时刻)



设A相轴线处为0°和零点, B相、C相起始线中含0°项差120°和240°。

$$f_A(\theta_s, t) = F_\phi \cos \omega t \cos \theta_s$$

$$\left\{ \begin{array}{l} f_{B_1}(\theta_s, t) = F_B \cos(\omega t - \frac{2\pi}{3}) \cos(\theta_s - \frac{2\pi}{3}) \quad \text{注意空间位置分布!} \\ f_{C_1}(\theta_s, t) = F_C \cos(\omega t - \frac{4\pi}{3}) \cos(\theta_s - \frac{4\pi}{3}) \quad \text{区分: 如果是单相绕组构造出三相,} \\ \qquad \qquad \qquad \text{则每极间隔差 } 2\pi \text{ 角度!} \end{array} \right.$$

此处是三相单极，每相间的电角度相差
就是机械角度，即 120° ！

$$\text{相加得 } f_1(\theta_S, t) = \frac{3}{2} F_\phi \cos(\omega t - \theta_S) \equiv F_1 \cos(\omega t - \theta_S) \quad (\text{多加, 其实也如此})$$

$$F_1 = \frac{3}{2} F_{q1} = \frac{3}{2} \times 0.9 \frac{N K_w l}{p} I_\phi = 1.35 \frac{N K_w l}{p} I_\phi$$

k_w 为基波绕组因数

$$-\frac{3}{2}F\phi_1)$$

则，三相绕组的基波合成磁动势是一个幅值恒定，空间正弦分布的
正向行波，是一个沿气隙圆周不断向前推进的旋转磁动势波。
(推移) [几何表示：圆形分量矢量]

[几何表示：圆形旋转变量]

高次谐波磁动势：

$$f_v(\theta_s, t) = f_{Av}(\theta_s, t) + f_{Bv}(\theta_s, t) + f_{Cv}(\theta_s, t) \\ = F_{\varphi v} \cos(v\theta_s) \cos(\omega t) + F_{\varphi v} \cos(v\theta_s - 120^\circ) \cos(\omega t - 120^\circ) \\ + F_{\varphi v} \cos(v\theta_s - 240^\circ) \cos(\omega t - 240^\circ)$$

产生涡流损耗，降低电机效率；产生寄生转矩，

影响启动性能

1) $v=3k$ ($k=1, 3, 5, \dots$)，即 $v=3, 9, 15, 21, \dots$ $f_v(\theta_s, t) = 0$ 不转动

2) $v=6k-1$ ($k=1, 2, 3, \dots$)，即 $v=5, 11, 17, 23, \dots$ 时

可采用短距、分布绕组以减少高次谐波磁动势。

$$f_v(\theta_s, t) = \frac{3}{2} F_{\varphi v} \cos(\omega t + v\theta_s) \text{ 谐波磁动势为转向与基波相反, } n_v = n_s/v$$

3) $v=6k+1$ ($k=1, 2, 3, \dots$)，即 $v=7, 13, 19, 25, \dots$ 时

$$f_v(\theta_s, t) = \frac{3}{2} F_{\varphi v} \cos(\omega t - v\theta_s) \text{ 谐波磁动势为转向与基波相同, } n_v = n_s/v$$

7. 多相电机的对称多相绕组中的合成磁场

Lec 19

① 脉振磁动势的分解

$$f_{A_1}(\theta_s, t) = \frac{1}{2} F_{\varphi 1} \cos(\theta_s - \omega t) + \frac{1}{2} F_{\varphi 1} \cos(\theta_s + \omega t)$$

↑
正向推移的
圆形成旋转磁动势波
两个等速、等大相向旋转的旋转磁动势

单相异步机与缺相分析要用

\Rightarrow 合成结果：单相脉振（不推移）

② 磁动势的不同类型及生成条件

$$f_i(\theta_s, t) = F_{i+} \cos(\theta_s - \omega t) + F_{i-} \cos(\theta_s + \omega t)$$

$$\Rightarrow \text{合成结果: } \begin{cases} F_{i+} \neq F_{i-} & \text{拥有圆形成旋转磁动势} \rightarrow \text{拥有圆形成旋转磁场 (非对称绕组或通入非对称交流电)} \\ F_{i+} = 0 \text{ 或 } F_{i-} = 0 & \text{圆形成旋转磁动势} \rightarrow I_1 N_1 = \dots = I_m N_m (m=1, 2, \dots) \\ F_{i+} = F_{i-} & \text{脉振磁动势} \end{cases}$$

例如书 P75，两相绕组的
圆形成旋转磁场 (非对称绕组或通入非对称交流电)

且电流相位差为
即 $\frac{n-1}{n} \times 180^\circ$

90° 两相
120° 三相
135° 四相
144° 五相

多相绕组通入同相位交流电
(幅值可不同)

要会用三相公式自行证明。

8. 交流绕组中的感应电动势

Lec 9

1. 基波电动势:

(1) 整距线圈 产生电动势方式推导: 空心磁场所下的气隙磁密 $B = B_1 \sin \frac{\pi}{\tau} x$

$$\text{导体中感应电动势 } e_1 = Blv = \frac{B_1 l v \sin \frac{\pi x}{\tau}}{\text{最大值}} = \sqrt{2} E_1 \sin \frac{\pi}{\tau} x \quad \text{每行进一个极距即前进} \pi$$

$$\text{导体感应电动势最大值 } E_{m1} = B_1 l v, \text{ 则有效值 } E = \frac{E_{m1}}{\sqrt{2}} = \frac{B_1 l v}{\sqrt{2}}$$

$$\text{每极下磁密平均值 } B_{av} = \frac{1}{\tau} \int_0^{\tau} B_1 \sin \left(\frac{\pi}{\tau} x \right) dx = \frac{2}{\pi} B_1 \quad \Rightarrow \text{每极磁通量 } \dot{\phi}_1 = \frac{2}{\pi} B_1 \tau l$$

$$B_1 \text{ 以} \dot{\phi}_1 \text{ 表示 } B_1 = \frac{\pi \dot{\phi}_1}{2\tau l} \quad \text{又相对线速度 } v = \frac{\frac{2\pi f \tau l}{60}}{\text{转一匝走过的长度}} = 2\pi f \quad \rightarrow \text{每秒走过的圈数}$$

$$\text{整距线圈电动势: } [单匝] E_{c1} = 2E_1' = 4.44 f \dot{\phi}_1 \xrightarrow{N_c \text{匝}} E_{c1} = 4.44 f N_c \dot{\phi}_1$$

产生电动势方式推导: 设 $\dot{\phi}_0 = \dot{\phi}_m \sin \omega t \Rightarrow \text{相量表示: } \dot{\phi}_m \text{ (最大值相量)}$

$$\text{则 } e_1 = -N_c \frac{d\dot{\phi}_0}{dt} = 2\pi f N_c \dot{\phi}_m \sin(\omega t - 90^\circ) = E_{1m} \sin(\omega t - 90^\circ)$$

$$\downarrow \quad \text{最大值相量: } \dot{E}_{1m} = -N_c j \omega \dot{\phi}_m = 2\pi f N_c \dot{\phi}_m \angle -90^\circ \quad \dot{\phi}_1 = \frac{2}{\pi} B_1 \tau l$$

$$\text{有效值相量: } \dot{E} = \sqrt{2} \pi f N_c \dot{\phi}_m \angle -90^\circ = -j 4.44 f N_c \dot{\phi}_m$$

$$\Rightarrow E = \sqrt{2} \pi f N_c \dot{\phi}_m = \underline{4.44 f N_c \dot{\phi}_m} \quad (\dot{\phi}_m \text{ 即 } \dot{\phi}_1)$$

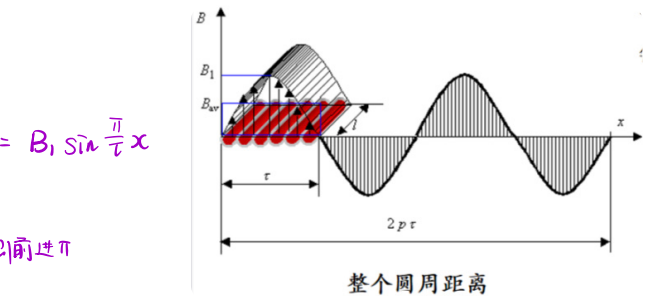
(2) 更一般情况下的相电动势

$$E_{\phi_1} = 4.44 f N k_{w1} \dot{\phi}_1 \quad k_{w1}: \text{基波绕组系数 包含两部分乘积}$$

$$2. \text{ 高次谐波电动势 } E_{\phi_V} = 4.44 f_V N k_{wV} \dot{\phi}_V \quad \frac{\pi_1}{\tau}$$

$$f_V = V f_1 \quad \dot{\phi}_V = \frac{2}{\pi} B_V \tau_V l$$

$$k_{wV} = k_{bV} k_{pV} \quad \begin{cases} k_{bV} = \frac{\sin(\frac{q}{2} \frac{\alpha}{\tau} V)}{q \sin(\frac{\alpha}{2} V)} \\ k_{pV} = \sin(\frac{\pi}{2} V \frac{\alpha}{\tau}) \end{cases}$$



$$\left. \begin{aligned} E &= \frac{B_1 l v}{\sqrt{2}} = \frac{1}{\sqrt{2}} \left[\frac{\pi \dot{\phi}_1}{2\tau l} \right] l (2\pi f) \\ &= \frac{\pi}{\sqrt{2}} f \dot{\phi}_1 = 2.22 f \dot{\phi}_1. \end{aligned} \right\} \text{[看图有助于理解]}$$

高次谐波电动势产生转矩脉振, 谐波损耗;

使用分布式和短距绕组抑制谐波电动势;

使用斜槽和分槽槽等削弱其节距因数和分布因数相同的谐波。

$$\begin{cases} k_{b1} = \frac{\sin(\frac{q}{2} \frac{\alpha}{\tau})}{q \sin(\frac{\alpha}{2} \tau)} \\ k_{p1} = \sin(\frac{\pi}{2} V \frac{\alpha}{\tau}) \end{cases} \quad \begin{array}{l} \text{考虑分布式绕组} \\ \text{考虑短距绕组} \end{array}$$

异步电机 (共5个问题)

Lec 19

1. 异步电机结构

需要简单了解。



定子、定子绕组、定子铁心和机座

• 定子铁心内圆开槽:



定子铁心：多层硅钢片叠成，内圆开槽，导磁性能好，减少涡流损耗

定子绕组为三相对称绕组，用于生成旋转磁场

可以接成星形或三角形
 $\left. \begin{array}{l} \text{接线方式: 单相与多相} \\ \text{层数: 单层与多层} \\ \text{绕法: 直接组与波绕组} \end{array} \right\}$

转子、转子铁芯、转子绕组和转轴

转子铁芯：多层硅钢片叠成
外圆开槽

转子绕组分为笼型和绕线型

笼型由槽内的导条和端环组成

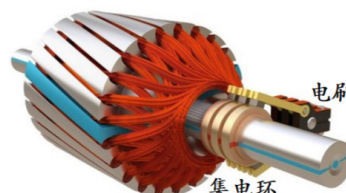
绕线型：三个出线端由导电杆接至集电环

通过电刷与外电路连接（可连外部可变电阻器）

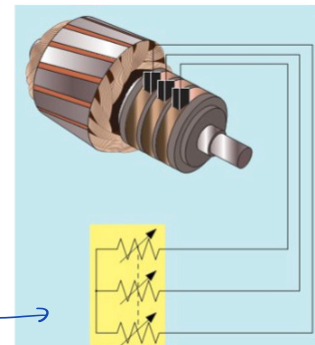
异步电机也可以有电刷！
但不接向，故无火花。

导条和两端的端环构成。

铜条转子



可外接可变电阻箱



笼形转子

绕线型转子

自动与定子磁场的极对数匹配 $P_2 = P_1 = P$

匝数： $N_2 = \frac{1}{2}$ 相数 $M_2 = Q_2 / P$
绕组因数是1. (无分布、且整距) \rightarrow 导条数量

气隙：耦合定、转子磁场，实现机电能量转换

气隙小：减小电机主磁路的磁阻，降低励磁电流，提高功率因数 但可能影响装配

2. 异步电机的运行分析和等效电路

前提条件：定转子极对数相同。[相数可以不同]

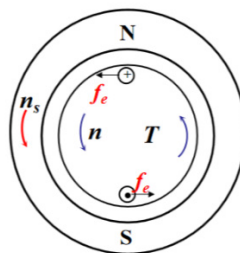
Lec 19

$$\text{转差率 } s = \frac{n_s - n}{n_s} \quad (\text{slip})$$

$$n < n_s$$

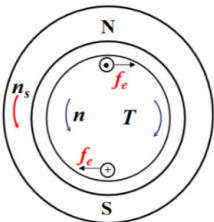
电动机运行时， $0 < n < n_s$ $0 < s < 1$,

n_s 是发电机和电动机状态的分界点



电磁制动状态 $s > 1 \quad n < 0$

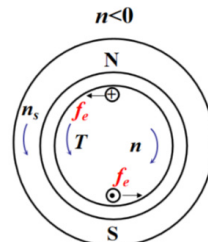
发电机 $s < 0 \quad n > n_s$



旋转磁场相对转子的旋转方向为顺时针；

电磁转矩 T 与转子转动方向相反

电磁转矩 T 是驱动转矩



外力拖着与转子反着磁场方向旋转

旋转磁场相对转子的旋转方向为逆时针

电磁转矩 T 与转子转速方向相反

电磁转矩 T 是制动转矩

三相感应电机的定、转子电路间没有直接的电联系，而是靠电磁感应实现的，这一点和变压器完全相同。

其定子绕组相当于变压器的一次绕组，转子绕组则相当于变压器的二次绕组。

异步电机可以看作是“会动的变压器”！

(1) 异步电机的空载运行 $n \approx n_s \quad s \approx 0 \quad I_2 \approx 0 \quad F_2 \approx 0 \quad F_1 \approx F_0$

空载磁通 $\left\{ \begin{array}{l} \text{主磁通} \Phi_m \quad \text{直接关系到功率转换} \\ \text{漏磁通} \Phi_{m\sigma} \quad \text{只产生漏抗压降} \end{array} \right.$ 饱和 不饱和

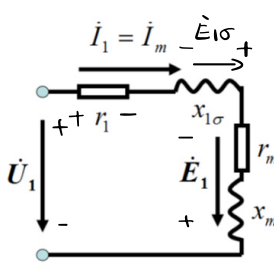
定子感应电动势 $E_1 = -j4.44f_1 N_1 k_{w1} \Phi_m$

引入励磁电阻 Z_m $E_1 = -I_m Z_m = -I_m (r_m + jx_m)$ $\left\{ \begin{array}{l} \text{励磁电阻} \quad r_m = \frac{P_f E}{m_i I_m^2} \\ \text{励磁电抗} \quad x_m = 2\pi f_1 L_m = 2\pi f_1 N_1^2 A_m \end{array} \right.$

定子漏电势 $E_{1\sigma} = -j4.44f_1 N_1 k_{w1} \Phi_{1\sigma}$

引入漏抗 $x_{1\sigma}$

$$E_{1\sigma} = -j I_1 x_{1\sigma} \quad x_{1\sigma} = 2\pi f_1 N_1^2 A_{1\sigma}$$



感应电动机的空载等效电路

$$\begin{aligned} U_1 &= I_1 r_1 - E_{1\sigma} + \underbrace{\dots}_{\text{定线圈内阻}} \\ U_1 &= I_1 r_1 - E_{1\sigma} - E_1 \\ &= I_1 r_1 + j I_1 x_{1\sigma} - E_1 \\ &= I_1 (r_1 + j x_{1\sigma}) - E_1 \\ &= I_1 Z_{1\sigma} - E_1 \\ &\Rightarrow r_1 + j x_{1\sigma} \text{ 定漏阻抗} \end{aligned}$$

由于 $|E_1| \gg |I_1 Z_{1\sigma}|$, 可认为 $U_1 \approx -E_1$

对于给定的电机，频率一定时， $U_1 \propto \Phi_m$

\Rightarrow 外施电压一定，主磁通幅值基本为定值（恒磁通）负载运行时也可以这样认为

* 感应电动机空载电流比变压器的大；

变压器磁场是脉振磁场，感应电机磁场是旋转磁场

但模型相同

负载运行时相同

(2) 异步电机的负载运行及等效电路

带载使转速低于同步转速，从而产生转差，进而产生转子电动势/电流，进而产生电磁转矩。

i. 转子磁动势与电动势、电路模型

$$n < n_s \quad \Delta n = n_s - n = S n_s$$

$$\text{转子感应电动势和电流的频率 } f_2 = \frac{P(n_s - n)}{60} = \frac{P \cdot S n_s}{60} = S f_1 \quad \text{称为转差频率}$$

如果定子通入频率为 f_1 的交流电，产生的频率为 $\frac{f_1}{S}$ ，转子磁动势是一个恒定的交变磁场。

转子是多相对定子的转速为 $n_2 = \frac{60 f_2}{P} = \frac{60 S f_1}{P} = S n_s = \Delta n$

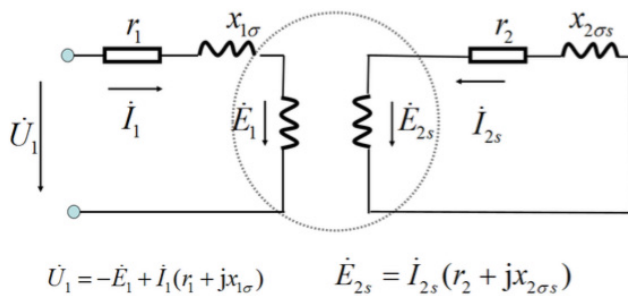
则 F_2 相对于定子的转速为 $n_2 + n = \Delta n + n = n_s$ 定转子磁动势
理由：同频电流/电压，同频磁动势 保持相对静止！

如变压器中的主磁通是由一、二次绕组的磁动势共同作用产生一样。这也是可用变压器分析方法分析的依据所在。

每相转子电流有效值记作 I_{2s} ，下标 s 表示转子频率为转差频率。同样，转子每相感应电动势记作 E_{2s} 。

则 转子方转速磁动势基波的幅值： $F_2 = \frac{m_2}{2} \times 0.9 \times \frac{N_2 k_{w2} I_{2s}}{P}$ m 为相数 可由三相对称时 F₁ 公式类比而来

相位： F_2 落后 B_m $90^\circ + \phi_2$
 \downarrow
 转子回路阻抗角

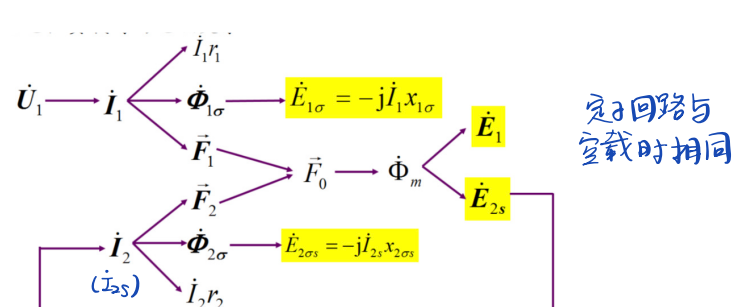


注意：定子电路的频率为 f_1 ，转子电路的频率为 f_2 。

定转子耦合电路图

注意，此式若由相量形式写成导出（感生角度），易使人

犯糊涂。同样的 ϕ_m 还有哪种频率？
 （怎么得出前面的因数呢？）其实没问题。



各物理量因果关系

转子回路的物理量及其关系：

$$\textcircled{1} \text{ 转子感应电动势有效值 } E_{2s} = 4.44 f_2 N_2 k_{w2} \Phi_m = 4.44 S f_1 N_2 k_{w2} \Phi_m$$

$$= S \cdot \frac{4.44 f_1 N_2 k_{w2} \Phi_m}{\rightarrow S=1 \text{ 时 } \approx E_{2s}, \text{ 因 } S=1 \\ \text{故也是最大 } E_{2s}, \text{ 即 } E_2 \rightarrow \text{其频率也对应转差率 } S=1 \text{ 情形,} \\ \text{即与 } f_2 \text{ 相同.}}$$

$$\textcircled{2} \text{ 转子感应漏磁电动势 } \dot{E}_{2\sigma s} = -j(2\pi f_2) L_{2\sigma} \dot{I}_{2s}$$

$$= -j I_{2s} x_{2\sigma s} \quad (x_{2\sigma s} = 2\pi f_2 L_{2\sigma})$$

称为转子漏感抗

$$x_{2\sigma s} = 2\pi S f_1 L_{2\sigma} \quad (f_2 = S f_1)$$

可见 $S=1$ 时漏感抗最大，转速 \uparrow 漏感抗 \downarrow

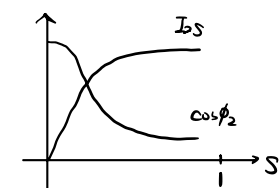
最大漏感抗为 $x_{2\sigma} = 2\pi f_1 L_{2\sigma}$, $\text{即 } x_{2\sigma s} = S x_{2\sigma}$

$$\textcircled{3} \text{ 转子电路方程: } \dot{E}_{2s} + \dot{E}_{2\sigma s} = \dot{I}_{2s} r_2 \quad \underline{\dot{E}_{2s} = \dot{I}_{2s} (r_2 + j x_{2\sigma s})}$$

$$\textcircled{4} \text{ 转子电流 } \dot{I}_{2s} = \frac{\dot{E}_{2s}}{r_2 + j x_{2\sigma s}} \Rightarrow \text{有源值} \quad I_{2s} = \frac{E_{2s}}{\sqrt{r_2^2 + x_{2\sigma s}^2}} = \frac{S E_2}{\sqrt{r_2^2 + (S x_{2\sigma})^2}} \quad \begin{cases} S=0 \rightarrow I_{2s}=0 \\ S=1 \rightarrow I_{2s} = \frac{E_2}{\sqrt{r_2^2 + x_{2\sigma}^2}} \quad (I_{2s, \max}) \end{cases}$$

$$\textcircled{5} \text{ 转子功率因数角 } \cos \phi_2 = \frac{r_2}{\sqrt{r_2^2 + x_{2\sigma s}^2}} = \frac{r_2}{\sqrt{r_2^2 + (S x_{2\sigma})^2}} \quad \begin{cases} S \rightarrow 0 \quad r_2 \gg S x_{2\sigma} \rightarrow \cos \phi_2 \approx 1 \\ S \rightarrow 1 \quad r_2 \ll S x_{2\sigma} \rightarrow \cos \phi_2 \approx \frac{1}{S} \end{cases}$$

转子转动时，转子电路中各量均与转差率有关，即与转速有关。



II、定、转子绕组的同频电压(相量)方程、频率归算

现在的问题：定、转子电量的频率不相同，先化成相同的，便于后续合并

什么时候频率相同： $f_2 = sf_1 \Rightarrow s=1$ 即 $n=0$ (转子不转动!)

归算是一种等效，即其需 $\left\{ \begin{array}{l} \text{与原物理量建立联系以便反算} \\ \text{不影响被等效部分之外的电路} \end{array} \right.$

则：保证转子磁动势不变！ \rightarrow 转子电流的大小和阻抗角不变！与转子电流频率无关！
 (影响幅值) (影响相角) (归算不影响被等效部分以外部分！)

是为 频率归算！用一个不转的转子来替代会转的转子。

$$\text{转子电流 } I_{2s} = \frac{\dot{E}_{2s}}{r_2 + jx_{2s}} = \frac{s\dot{E}_2}{r_2 + jsx_{2s}}$$

$$\text{分子、分母同除以 } s \quad \dot{I}_2 = \frac{\dot{E}_2}{\frac{r_2}{s} + jx_{2s}} = \frac{\dot{E}_2}{r_2 + \frac{1-s}{s}r_2 + jx_{2s}}$$

用静止的、转子电阻为 $\frac{r_2}{s}$ 、频率为 f_1 的转子代替
旋转的、电阻为 r_2 、频率为 f_2 的转子。

归算后各物理量去掉 s ，表示频率已不再是转差频率。

\dot{I}_2 的幅值虽仍与 I_{2s} 相同，但其频率已变为 f_1

\downarrow 阻抗角不变 + 电流幅值不变

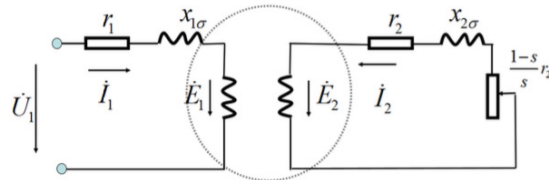
\Rightarrow 满足条件！

第一项为转子本身电阻
第二项为转子旋转时的机械功率对应的电阻，
其上消耗功率等于转子旋转时的机械功率
即：用可变电阻来反映转子旋转消耗功率

电压平衡方程式

$$\dot{E}_2 = \dot{I}_2 (r_2 + \frac{1-s}{s}r_2 + jx_{2s})$$

得到频率归算后电路：



III、定子绕组回路的合并 —— 绕组归算 → 按其类似变压器！

将定转子绕组变成一样。



目的：用与定子绕组匝数、相数和线圈因数相同的等效转子绕组代替实际转子绕组，即 $m'_2 = m_1$, $k_{W2}' = k_{W1}$, $N'_2 = N_1$

归算后各物理量加上'，表示是绕组归算后的结果。

① 电流归算 归算前后转子磁动势大小和空间相位不变 $F'_2 = F_2$

$$\frac{m'_2}{2} \times 0.9 \times \frac{N'_2}{P} k_{W2}' I'_2 = \frac{m_2}{2} \times 0.9 \times \frac{N_2}{P} I_2 k_{W2}$$

$$\frac{m_1}{2} \times 0.9 \times \frac{N_1}{P} k_{W1} I'_2 = \frac{m_2}{2} \times 0.9 \times \frac{N_2}{P} I_2 k_{W2}$$

$$\Rightarrow I'_2 = \frac{m_2 N_2 k_{W2}}{m_1 N_1 k_{W1}} I_2$$

即 $I'_2 = \frac{I_2}{k_e}$, k_e 为电流变比
定义为 $\frac{m_1 N_1 k_{W1}}{m_2 N_2 k_{W2}}$

② 电流归算方法：乘以电流变比 k_e

③ 电势归算 由于磁通不变 $D_1 E'_2 = 4.44 f_1 N'_2 k_{W2}' \phi_m = 4.44 f_1 N_2 k_{W2} \phi_m = E_1$ (化到此可得转子回路直接并到定子回路右端)

$$= 4.44 f_1 N_2 k_{W2} \phi_m \frac{N_1 k_{W1}}{N_2 k_{W2}} = k_e E_2 \quad [k_e = \frac{N_1 k_{W1}}{N_2 k_{W2}}]$$

④ 电势归算方法：乘以电势变比 k_e ，即变为 E'

⑤ 阻抗归算 依折：归算前后转子上消耗的有功功率和无功功率应保持不变

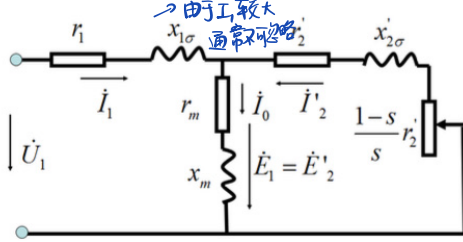
$$\text{有功: } m'_2 I'^2 \frac{r'_2}{S} = m_1 I_2^2 \frac{r_2}{S} = m_2 I_2^2 \frac{r_2}{S}$$

归算后石的有功
相数 $\times I^2 R$ ← 应使二者相等 → 通过此式求得 $r'_2 = \left(\frac{I_2}{I'_2}\right)^2 r_2 \frac{m_2}{m_1} = k_e k_r r_2$

$$\text{无功: } m'_2 I'^2 x'_{2\sigma} = m_1 I_2^2 x_{2\sigma} = m_2 I_2^2 x_{2\sigma} \Rightarrow x'_{2\sigma} = \frac{m_2}{m_1} \left(\frac{I_2}{I'_2}\right)^2 x_{2\sigma} = k_e k_r x_{2\sigma}$$

⇒ 转子漏阻抗归算值为：原阻抗值乘以电流和电势的变比 $k_e k_r$ 功率因素仍不变

绕组归算后等效电路



$$\begin{aligned} E'_2 &= k_e E_2 = E_1 && \text{电压等效} \\ \dot{E}'_2 - \dot{I}'_2 (r'_2 + jx'_{2\sigma}) - \dot{I}'_2 \frac{r_2}{S} r'_2 &= 0 && \text{转子回路} \\ \dot{I}'_2 &= \dot{I}_0 - \dot{I}'_2 && \text{利用 } \vec{F}'_2 = \vec{F}_1 + \vec{F}_2 \text{ 可推导。} \\ \dot{E}'_1 &= -\dot{I}_0 Z_m = -\dot{I}_0 (r_m + jx_m) && \text{注意,用绕组归算后的值表示!} \\ \dot{U}_1 &= -\dot{E}'_1 + \dot{I}_1 (r_1 + jx_{1\sigma}) && \text{磁势平衡方程式} \end{aligned}$$

↓ 力磁支路阻抗并联
↓ 定子回路电压方程

运用等效电路分析典型运行情况：

① 空载 $n \approx n_s$ $S \approx 0$ 转子近似开路 ($r'_2/S \rightarrow \infty$)

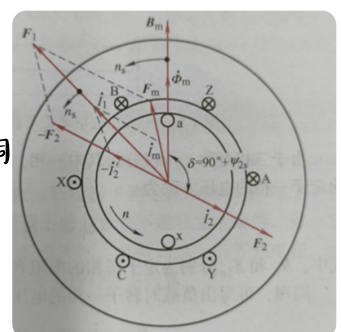
定子电流主要为激磁电流，定子功率因素很低；

定子漏阻抗压降很小， U_1 近似等于 E_1

(堵转)

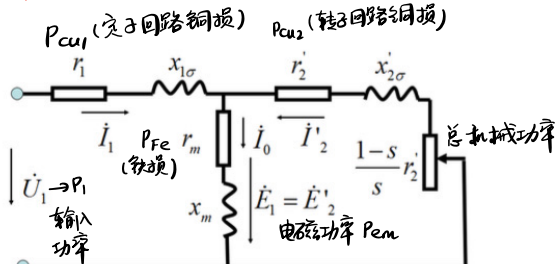
② 起动: $n=0$, $S=1$, 附加电阻为 0, 只有漏阻抗, 定转子电流都很大

③ 恒定运行: 转差率较小, 转子侧阻抗基本呈阻性, 转子功率因素很高。转子电流基本是有功分量, 相应电机定子功率因素也较高。



3. 异步电机的机械特性

(1) 异步电动机功率传输关系

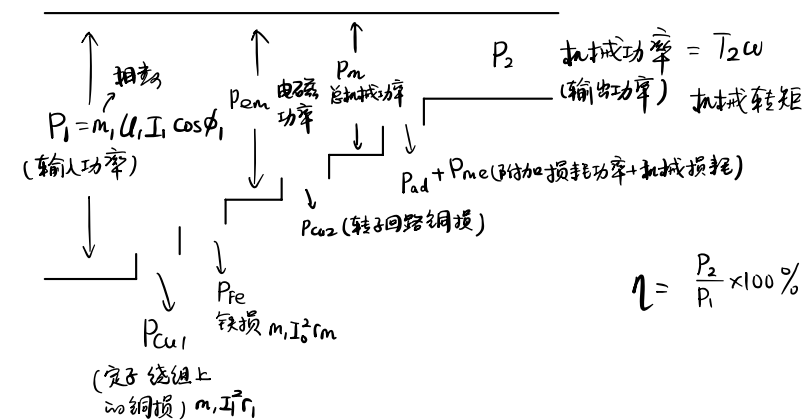


$$\text{电磁功率 } P_{em} = m_1 I_2'^2 \frac{1}{s} r_2' = m_1 E_2' I_2' \cos \varphi_2$$

$$P_{Cu2} = m_1 I_2'^2 r_2' = s P_{em}$$

$$\text{总机械功率 } P_m = (1-s) P_{em} = m_1 I_2'^2 \frac{1-s}{s} r_2'$$

$$\text{输出功率 } P_2 = P_m - P_{me} - P_{ad}$$



$$\begin{aligned} P_m &= P_2 + (P_{me} + P_{ad}) \\ \Rightarrow \frac{P_m}{\omega} &= \frac{P_2}{\omega} + \frac{P_{me} + P_{ad}}{\omega} \Rightarrow T = T_2 + T_0 \\ T &= \frac{P_m}{\omega} = \frac{(1-s) P_{em}}{(1-s) \omega_s} = \frac{P_{em}}{\omega_s} \\ &\downarrow \\ \text{同步转速} - \text{转差} &= \text{转子角速度} \end{aligned}$$

T: 电磁转矩 (T_{em})T₂: 负载转矩T₀: 空载制动转矩

特别地，对于三相异步电机： 输入功率 $P_1 = 3 U_1 I_1 \cos \varphi_1 = \sqrt{3} U_N I_N \cos \varphi_N$ 线电压 = N 表示额定值。标注的额定电压、电流均为线电压、线电流。

$$\text{机械功率 } P_2 = \eta P_1 = \sqrt{3} U_N I_N \eta_N \cos \varphi_N \text{ 线电流} = \sqrt{3} \text{ 相电流}$$

(2) 异步电机的机械特性

$$T = \frac{P_{em}}{\omega_s} = \frac{m_1 I_2'^2 r_2' \frac{1}{s}}{2\pi f_1 / p} \quad I_2' = ?$$

由于励磁阻抗一定、转子漏阻抗大很多，若把励磁阻抗支路视为开路： $I_2' \approx \frac{U_1}{\sqrt{(r_1 + \frac{r_2'}{s})^2 + (x_{1\sigma} + x_{2\sigma}')^2}}$

$$m_1 \text{ 参考表达式: } T = \frac{m_1 P_1 U_1^2 r_2' \frac{1}{s}}{2\pi f_1 [(r_1 + \frac{r_2'}{s})^2 + (x_{1\sigma} + x_{2\sigma}')^2]} \quad \left\{ \begin{array}{l} \text{转差率不变时, 电磁转矩仅与电枢外加电压平方成正比} \\ \text{电压与频率不变时, 电磁转矩仅与转差率有关} \end{array} \right.$$

$$\text{物理表达式: } T = \frac{P_{em}}{\omega_s} = \frac{m_1 E_2' I_2' \cos \varphi_2}{2\pi f_1 / p} = \frac{m_1 (\sqrt{2} \pi f_1 N_1 k_{w1} \phi_m) I_2' \cos \varphi_2}{2\pi f_1 / p}$$

$$\begin{aligned} &= \frac{P_{em} N_1 k_{w1}}{\sqrt{2}} \phi_m \frac{I_2}{k_2} \cos \varphi_2 \\ &= \frac{P_{em} N_2 k_{w2}}{\sqrt{2}} \phi_m I_2 \cos \varphi_2 \stackrel{\Delta}{=} C_T \phi_m I_2 \cos \varphi_2 \end{aligned}$$

式中 $C_T = \frac{P_{em} N_2 k_{w2}}{\sqrt{2}}$ $\cos \varphi_2 = \frac{r_2}{\sqrt{r_2^2 + (x_{2\sigma})^2}}$ \rightarrow 计算前后功率因数不变，所以用旧算前的量计算即 $\overline{\eta}$ 。

$$T = C_T \phi_m I_2 \cos \varphi_2 = C_T \frac{U_1}{4.44 f_1 N_1} \frac{I_2 s}{\sqrt{r_2^2 + (x_{2\sigma})^2}} = C_T \frac{1}{4.44 f_1 N_1} U_1 \frac{s E_2}{\sqrt{r_2^2 + (x_{2\sigma})^2}} \frac{r_2}{\sqrt{r_2^2 + (x_{2\sigma})^2}} \underset{U_1 \propto E_1, E_1 = k_E E_2}{\approx} C \frac{s r_2}{\sqrt{r_2^2 + (x_{2\sigma})^2}} U_1^2$$

$$T \approx C \frac{r_2}{r_2^2 + (x_{2\sigma})^2} U_i^2 \quad (C = \frac{C_T}{4.44 f_i N_1 k_e} \text{ 电机常数}) \quad \text{同样可分析出之前结论。}$$

① T-S 曲线 (当 U_i 、 f_i 与电机参数不变时)

$$\frac{dT}{ds} = 0 \Rightarrow \text{临界转差率 } S_m = \frac{r_2'}{\sqrt{r_1^2 + (x_{1\sigma} + x_{2\sigma}')^2}}$$

结合参数表达式得

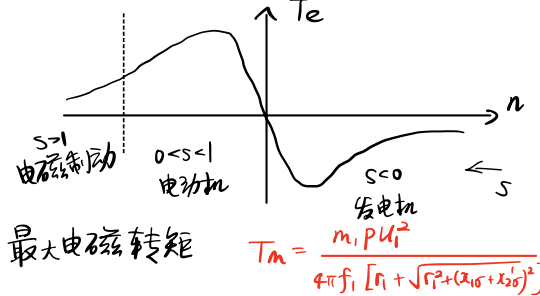
$$\boxed{\frac{T}{T_m} = \frac{s^2}{S_m + s_m}}$$

$$S_m = S_n (k_m + \sqrt{k_m^2 - 1})$$

$$\text{简化公式中 } S_m \approx \frac{r_2}{x_{2\sigma}}$$

$$\text{通常 } r_1 \ll x_{1\sigma} + x_{2\sigma}' \Rightarrow S_m \approx \frac{r_2}{(x_{1\sigma} + x_{2\sigma}')}}$$

与 U_i 无关, 正比于 r_2
反比于 $x_{1\sigma} + x_{2\sigma}'$



$$k_m = \frac{T_m}{T_n} \text{ 称为过载倍数}$$

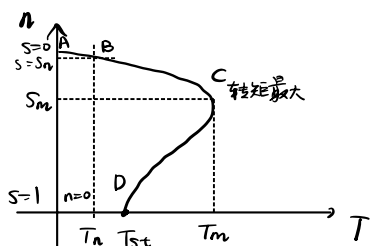
[一般取 1.6~2.5]
(保证电动机不过短时过载而停转)

$$T_m \approx C \frac{U_i^2}{2x_{2\sigma}}$$

$$T_m \approx \frac{m_p U_i^2}{4\pi f_i (x_{1\sigma} + x_{2\sigma}')}$$

f_i 一定时正比于 U_i^2
与 $x_{1\sigma} + x_{2\sigma}'$ 成反比, 与 r_2 基本无关

② 固有机械特性 $n = f(T)$



- A: 同步点 $n = n_s$, $s = 0$, $T = 0$
- B: 额定工作点 $n = n_n$, $s = s_n$, $T = T_n$, S_n 在 0.0 (~0.05)
- C: 最大转矩 $n = n_m$, $s = s_m$, $T = T_m$, S_m 在 0.2 ~ 0.3
- D: 起动点 $n = 0$, $s = 1$, $T = T_{st}$

稳定运行时: $\frac{dT}{dn} < \frac{dT_L}{dn}$ [$\frac{dT_L}{dn}$ 变化率还小, 则就无停不稳了]
一般 $\frac{dT_L}{dn} > 0$, 故稳定运行区一般在 $0 < s < S_m$ ($\frac{dT}{dn} < 0$ 区)

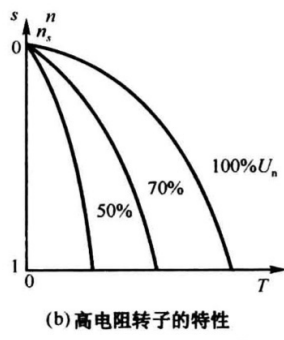
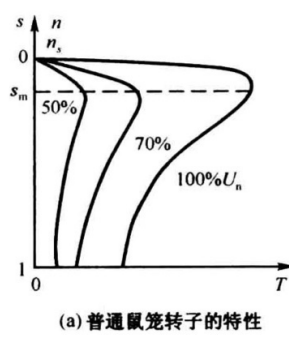
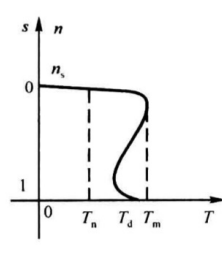
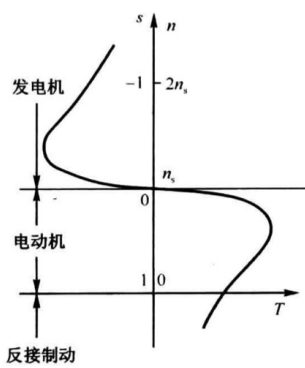


图 3-22 异步电动机的机械特性曲线

图 3-23 异步电动机调压时的机械特性曲线

起动转矩并不都小, 也有大的。不能一概而论。

下面分析主要针对普通鼠笼转子 (典型特性)。

4. 异步电机的起动与调速方法

(1) 异步电机的起动转矩分析

$$T_{st} = \frac{m_1 P U_1^2 r'_2}{2\pi f_1 [(r_1 + r'_2)^2 + (x_{10} + x'_{20})^2]} \propto U_1^2, \text{ 或 } T \approx C \frac{sr_2}{r_2^2 + (x_{20})^2} U_1^2, \text{ 且 } x_{20} \gg r_2 \Rightarrow T_{st} \approx C \frac{r_2}{(x_{20})^2} U_1^2 \propto U_1^2$$

↑ 其实是在定子处加上外接电阻

$$(1) U_1 \downarrow \Rightarrow T_{st} \downarrow$$

(2) 与 r_2 有关, 适当 $r_2 \uparrow \rightarrow T_{st} \uparrow$ 。对绕线式异步电动机可通过转子回路串电阻实现
对鼠笼式异步电动机, 则无法这样做, 只有当起动转矩大于负载所需转矩时, 电动机才能起动
 $K_{st} = \frac{T_{st}}{T_n}$ [起动转矩倍数] > 1 鼠笼型异步电动机才能产生负载转动。

起动电流大和起动转矩小的原因:

忽略励磁电流

$$I_{st} \approx \frac{U_1}{\sqrt{(r_1 + \frac{r'_2}{2})^2 + (x_{10} + x'_{20})^2}} \quad S=1 \quad \frac{U_1}{\sqrt{(r_1 + r'_2)^2 + (x_{10} + x'_{20})^2}}$$

$$n=0, E_2 \uparrow \rightarrow I_2 \uparrow \rightarrow I_1 \uparrow$$

$$T = C_T \phi_m I_2 \cos \psi_2 \quad \psi_2 = \arctan(s x'_{20} / r'_2) \stackrel{S=1}{=} \arctan(x'_{20} / r'_2) \text{ (趋近于) } \frac{\pi}{2} \Rightarrow \cos \psi_2 \approx 1 \quad \left. \begin{array}{l} x_{20} \gg r'_2 \\ \downarrow \\ \text{轻载时也有} \\ \text{此问题} \end{array} \right\} \begin{array}{l} \text{总效果} \\ T_{st} \text{ 不大} \end{array}$$

$$U_1 = I_1 Z_{10} - E_1 \quad I_1 \uparrow \quad E_1 \downarrow \quad \phi_m \downarrow$$

(2) 异步电机的起动方法

① 直接起动: 将定子绕组直接接在额定电压的电源上起动。

优点: 操作简单, 不需要复杂起动设备

缺点: 起动电流很大, 而起动转矩并不大。

② 降压起动: 由上述(1)点知道 $U_1 \downarrow \quad I_{st} \downarrow$: 利于降低起动电流 $T_{st} \downarrow$: 只适用于轻载或空载起动!

方法: i. 定子串电阻器(电阻器)起动 与上面转子串电阻相区分

ii. 星三角接降压起动 起动时 $\Delta \rightarrow Y$, 稳定后 $Y \rightarrow \Delta$

起动电流和转矩均为原来的 $\frac{1}{3}$

$$\left\{ \begin{array}{l} Y: 线电流 = 相电流, 线电压 = \sqrt{3} 相电压 \\ \Delta: 线电压 = 相电压, 线电流 = \sqrt{3} 相电流 \end{array} \right. \Rightarrow \Delta \rightarrow Y: \frac{I_{st,Y}}{I_{st,\Delta}} = \frac{U_1 / (\sqrt{3} Z)}{\sqrt{3} U_1 / Z} = \frac{1}{3} \quad \frac{T_{st,Y}}{T_{st,\Delta}} = \left(\frac{U_1 / \sqrt{3}}{U_1} \right)^2 = \frac{1}{3}$$

iii. 自耦变压器降压起动 (容易控制, 省)

$$③ 绕线型异步电动机: I_{st} \approx \frac{U_1}{\sqrt{(r_1 + r'_2)^2 + (x_{10} + x'_{20})^2}} \text{ 转子回路串电阻, } I_{st} \downarrow$$

串入电阻合适, 既可以减小起动电流, 又可以增加起动转矩

$$S_m \approx \frac{r'_2}{(x_{10} + x'_{20})} \quad T_m \approx \frac{m_1 P U_1^2}{4\pi f_1 (x_{10} + x'_{20})} \quad \begin{array}{l} \text{串入 } R_{st} \\ S_m \uparrow \quad T_m \text{ 大致不变} \end{array}$$

$$\text{若 } S_m = 1 \text{ 可使起动转矩等于最大转矩} \quad R_{st}' + r'_2 = x_{10} + x'_{20} \quad \Rightarrow R_{st} = \frac{1}{k_{ehi}} (x_{10} + x'_{20} - r'_2)$$

为减少电流和转矩冲击,
有较大平均起动转矩,
常采用电阻逐级切除法。

应使电机容量与负载相匹配。

若所选电机功率过大，除设备投资较大，轻载运行时效率和功率因数都较低，造成浪费 [大马拉小车]

若所选电机容量小于负载功率，则电机长期过载运行，铜耗急剧增大，电机过分发热而损坏。 [小马拉大车]

轻载或空载运行时应据负载特点采取措施达到节能目的。

(3) 三相异步电动机的调速

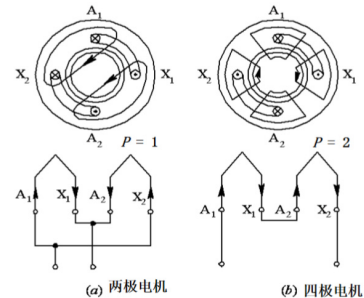
$$n = n_s(1-s) = \frac{60f_1}{P} (1-s)$$

$\left\{ \begin{array}{l} \text{改变} P \quad \text{变极调速} \\ \text{改变} U \quad \text{调定子电压、调转子电阻、串级调速} \\ \text{改变} s \quad \text{变频调速} \end{array} \right.$

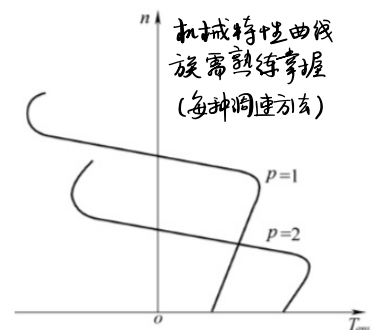
① 变极调速 同步转速与极对数成反比。仅适用于笼型异步电机（转子与定子自动实现磁场极对数相等）原因略即可

特点：①机械特性较硬，稳定性好；②无转差损耗，效率高

③接线简单，控制方便，价格低；④有级调速，平滑性差

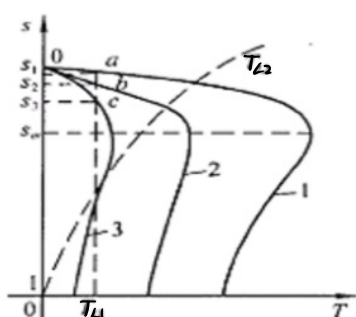


改变绕组连接方式



② 变转差率调速

i. 改变定子电压 U



U 不同时有不同 $T-n$ 曲线。其与负载 T_L 曲线交点即为工作点。
($T-n$)

对恒转矩负载 T_L ：注意其可能与电机 $T-n$ 曲线交于多点，只能取稳定运行区内的交点！
叫调速范围很窄。

对风机、泵类负载 T_L ：调速范围较大，但过载能力下降很多。但低速运行时，
(交点唯一，可以调速)
出现过电流和功率因数低的现象。
(铜耗高)

ii. 转子串电阻

仅适用于绕线式转子

串入 R_{st}
 $S_m \uparrow$ T_m 大致不变

没调速前转差率为 s_1 ，调速后为 s ，由 $s = r_2 / (r_2 + r_s)$ 得 $\frac{r_2}{s_1} = \frac{r_2 + r_s}{s} = \text{常值}$

恒转矩调速时， $T = \frac{P_{em}}{\omega_s}$ 不变 $\Rightarrow P_{em}$ 不变

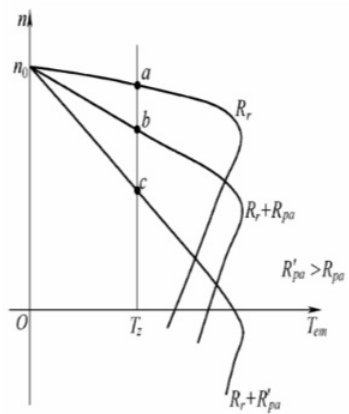
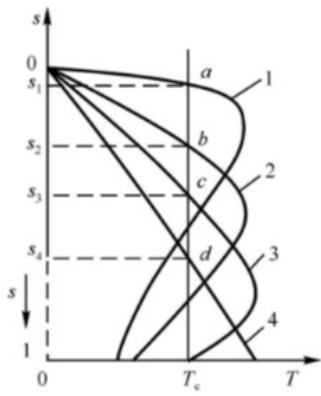
$\therefore n \downarrow, s \uparrow, \Rightarrow P_{cu2} = s P_{em} \uparrow$

缺点：转速低时铜耗大、效率低

电阻不连续，调速不平滑（有级调速）

适用于对调速性能要求不高的场合。

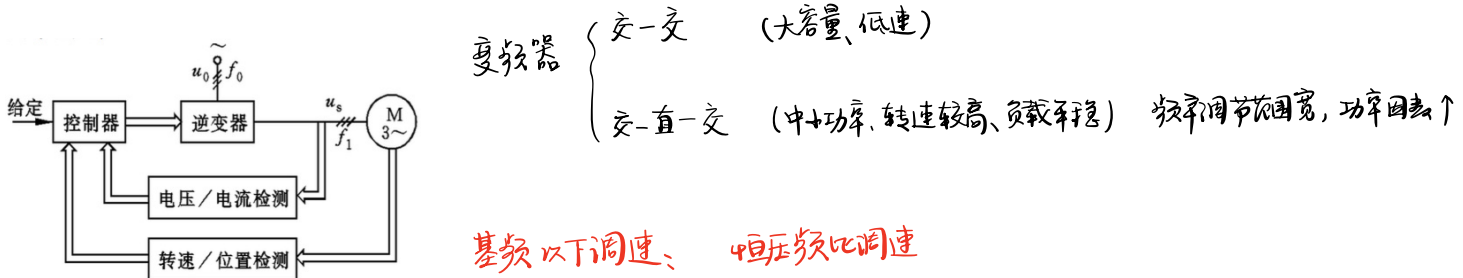
优点：方法简单，设备投资不高，工作可靠



iii. 串级调速

(略) 即转子回路串入附加电势进行调速

③ 变频调速



基本出发点: $U_1 \approx E_1 = 4.44f_1 N_1 k_w \phi_m$ 希望 ϕ_m 为恒定 ($\Phi \uparrow$ 磁饱和于饱和, 激磁电流急剧增加)
 $\Phi \downarrow \sim$ 欠饱和, 出力小, 材料未充分利用

因此 $f_1 \downarrow$ 时, $U_1 \downarrow$, 保持 U_1/f_1 为常数 $T_m \approx \frac{m_1 p U_1^2}{4\pi f_1 (x_{1\sigma} + x_{2\sigma})^2} = \frac{m_1 p U_1^2}{8\pi^2 f_1^2 (L_{1\sigma} + L_{2\sigma})} \Rightarrow T_m \propto \left(\frac{U_1}{f_1}\right)^2$

上述仅是**基本思想**, 具体对不同频率有**不同考虑**:

f_1 较高时, E_1 大 $\rightarrow U_1 = -E_1 + I_1 Z_{1\sigma} \approx -E_1$ 则 $E_1/f_1 = c \rightarrow U_1/f_1 = c$ (恒压频比控制)

f_1 很低时, E_1 小, $I_1 Z_{1\sigma}$ 又可忽略 $U_1 \approx -E_1$ 不再成立

$Z_{1\sigma} = R_1 + jX_{1\sigma} \approx R_1$ (R, I 比重大) 则只有适当提高 U_1 以克服 R, I_1 , 使 $E_1/f_1 \propto \phi_m = c$ 成立

因此须进行低频补偿 (低频电压提升)

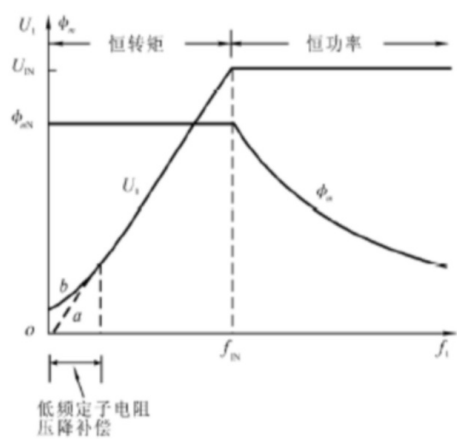
基频以上调速: 不能作 $U_1/f_1 = c$ 控制, 否则 $U_1 \geq U_{1N}$ (耐压受不了)

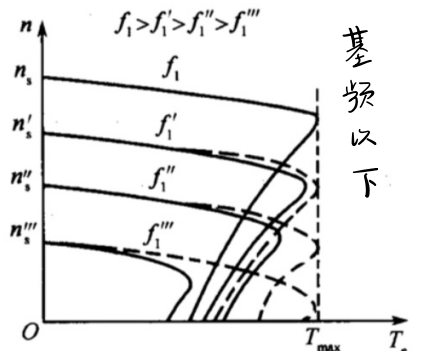
\rightarrow 维持 $U_1 = U_{1N} \approx E_1 \propto f_1 \phi_m$ 不变

即有 $\phi_m \propto \frac{U_{1N}}{f_1} \propto \frac{1}{f_1}$, 即 $f \uparrow, \phi_m \downarrow$ (弱磁)

电磁转矩 $T \propto \phi_m \propto \frac{1}{f_1} \propto \frac{1}{\omega_1}$ $f \uparrow \rightarrow T \downarrow$

T_w 近似不变, 近似为恒功率调速。

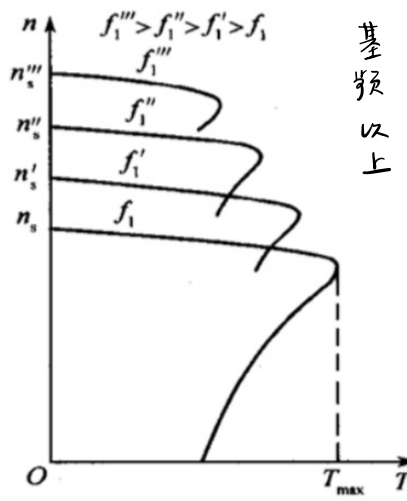




不同频率的机械特性曲线彼此平行，最大转矩不变。

实际上，频率低时，定子电阻影响逐步显现，最大转矩会减小。

实线为 $U_1/f=C$ ，虚线为理想 $E_1/f=c$



当频率 f_1 增大时，磁通 Φ_m 将减小，因此从基频向上的变频调速是一种恒压弱磁的调速方式。

这种情况与直流电动机（恒压）弱磁调速很相似。最大转矩将随频率上升而减小。近似为恒功率调速。

优点：①控制电机启动电流，降低电力系统电压波动，启动时所需功率更低

- ② 获得更好调速特性；
- ③ 提高运行效率，节能明显；
- ④ 减少机械传动部件，实现直驱。

了解变频调速的好处（如变频空调）

矢量控制和直接转矩控制（略）

调速方式	转子串电阻	定子调压	电磁离合器	液力偶合器	液粘离合器	变极	串级	变频
调速方法	改变转子串电阻	改变定子输入调压	改变离合器励磁电流	改变偶合器工作腔充油量	改变离合器摩擦片间隙	改变定子极对数	改变逆变器的逆变角	改变定子输入频率和电压
调速性质	有级	无级	无级	无级	无级	有级	无级	无级
调速范围	50~100%	80~100%	10~80%	30~97%	20~100%	2, 3, 4, 档转速	50~100%	5~100%
响应能力	差	快	较快	差	差	快	快	快
电网干扰	无	大	无	无	无	无	较大	有
节电效果	中	中	中	中	中	高	高	高
初始投资	低	较低	较高	中	较低	低	中	高
适用范围	绕线型异步机	绕线型异步机	笼型异步机	笼型异步机	笼型异步机	笼型异步机	绕线型异步机	异步电机、同步电机

5. 单相异步电机

之前分析都基于旋转磁场，如何借用之前结论？回扣：单相脉振磁场
可分解为两个圆形旋转磁场之叠加 \Rightarrow 力矩也是两圆形旋转磁场生成力矩的叠加！

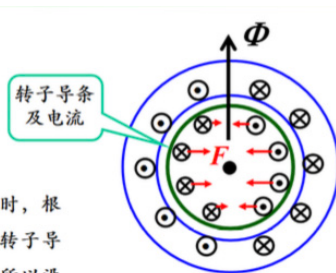
Lec 20

定子通入单相交流电，形成脉振磁场。磁感应强度空间上呈正弦分布，时间上按正弦变化。

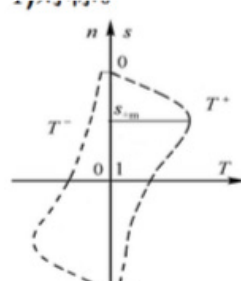
若通入电流 $i = \sqrt{2} I \sin \omega t$ $f_{\varphi_1} = F_{\varphi_1} \cos \theta_s \sin \omega t = \frac{1}{2} F_{\varphi_1} \sin(\theta_s - \omega t) + \frac{1}{2} F_{\varphi_1} \sin(\theta_s + \omega t) = f_{\varphi_1}^+ + f_{\varphi_1}^-$

单相异步电动机的特点：

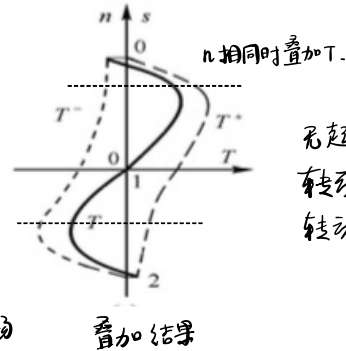
自身没有起动转矩



当定子绕组产生的合成磁场增加时，根据右手螺旋定则和左手定则，可知转子左、右受力大小相等方向相反，所以没有起动转矩。



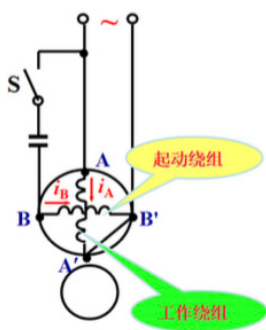
脉振磁场对应的正、反旋转磁场
对应的电磁转矩曲线



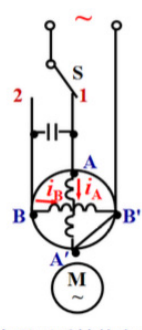
无起动转矩，但
转动后有维持
转动的转矩

为了获取起动转矩，单相异步电机定子需特殊设计。以下两种常见设计都使用鼠笼式转子。

① 电容分相式：有两个绕组、工作绕组、启动绕组 西绕组空间相隔 90° \Rightarrow 两相方式起动，
直接接电源 经电容接电源 西绕组中电流相位差近 90° 有起动转矩



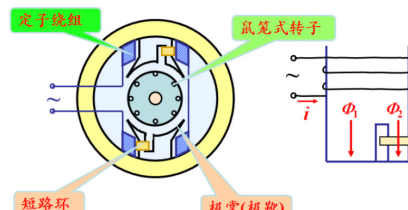
电容起动式异步电动机
(转子转动起动后，利用离心
力将S断开)



电容运转式异步电动机
(开关先拨到1或2可改变转向
因为改变了电流的相位关系)

②罩极式：

电流通过定子绕组，产生磁通 Φ_1 ，另一部分磁通与短路环作用，产生磁通 Φ_2 ，由于短路环中感生电流的阻碍作用，使 Φ_2 在相位上滞后 90° ，形成椭圆旋转磁场，使其起动。
(跟通电产生旋转是一个效果)



不可改变转向(超前指向滞后)
起动转矩较小，常用于电风扇、
吹风机中。

三相异步电动机单相运行：三相异步机运行中断一相即成为单相电动机。此时电动机仍将继续转动。
(缺相)

此时还带额定负载，电流会超过额定电流，时间长会使电机烧坏。

若负载转矩大于脉振磁场最大转矩，电机将逐渐停转；若小于 \sim ，电机继续旋转，但转速下降。

三相异步电动机单相起动：起动前断开，不能起动，只能听到嗡嗡声，电流很大，时间长会烧坏电机。

磁场为单相脉振磁场，
无起动转矩